

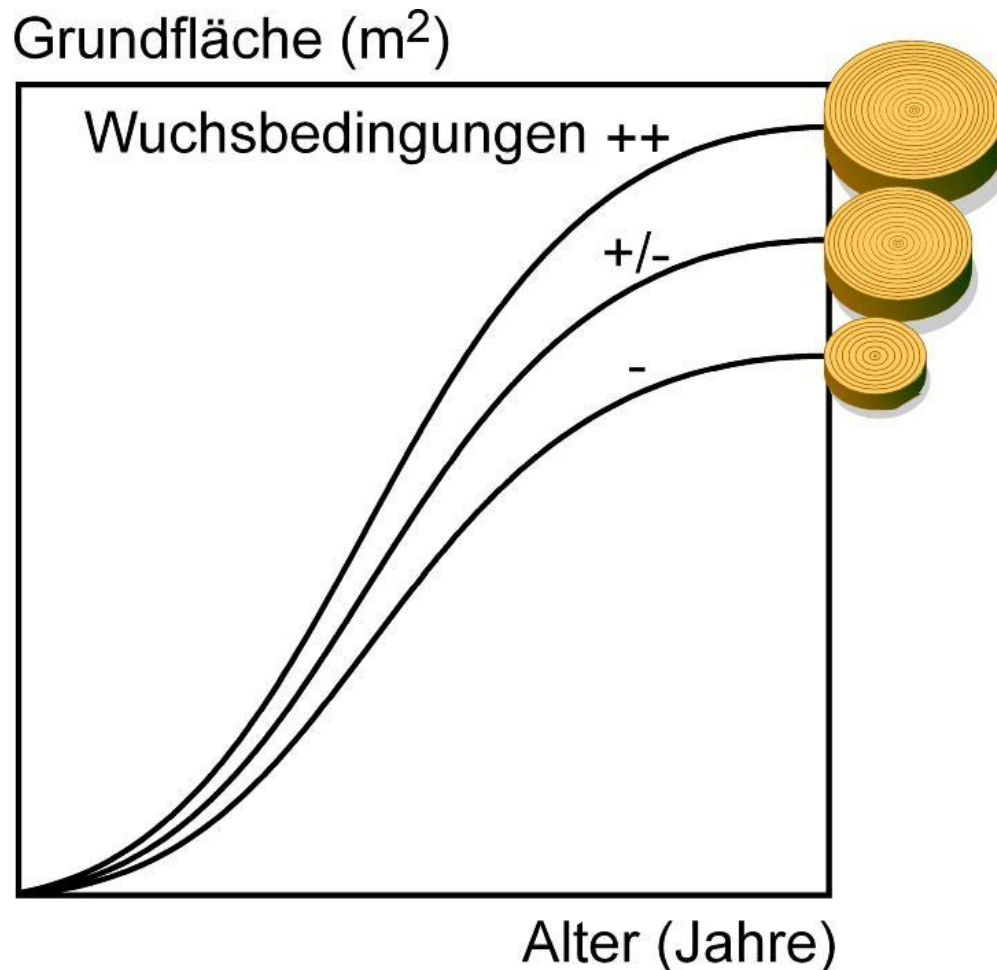
Städte als offene Klimakammern. Wachstumreaktionen von Stadtbäumen auf globale und urbane Klimaveränderungen

Hans Pretzsch, Peter Biber, Enno Uhl, Jens Dahlhausen,
Gerhard Schütze, Diana Perkins, Thomas Rötzer, Juan Caldentey,
Takayoshi Koike, Tran van Con, Aurélia Chavanne,
Ben du Toit, Keith Foster, Barry Lefer

- 1 Welchen Trend zeigen Stadtbäume weltweit?
- 2 Wie wachsen sie im Stadtinneren im Vergleich zu außen
- 3 Wie wachsen sie in unterschiedlichen Klimazonen?

<http://waldwachstum.wzw.tum.de/index.php?id=presentations>

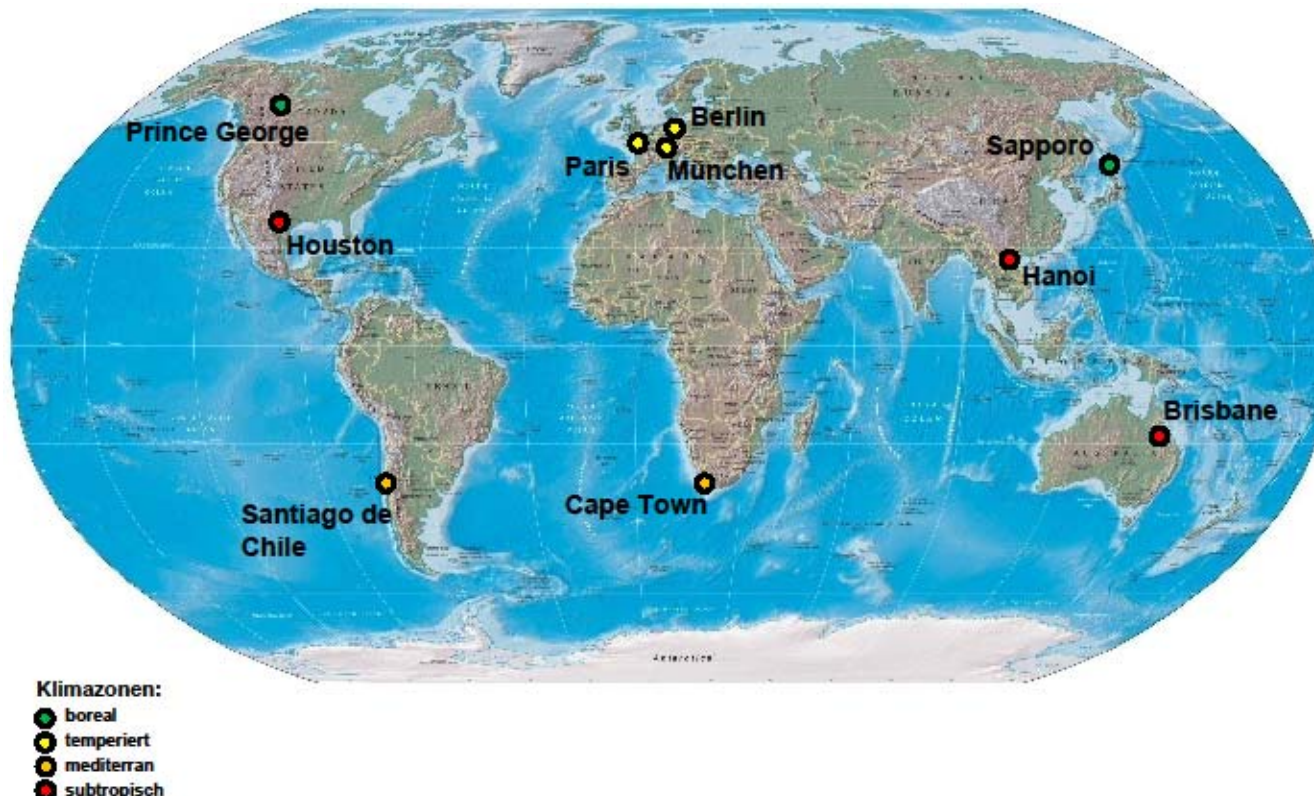
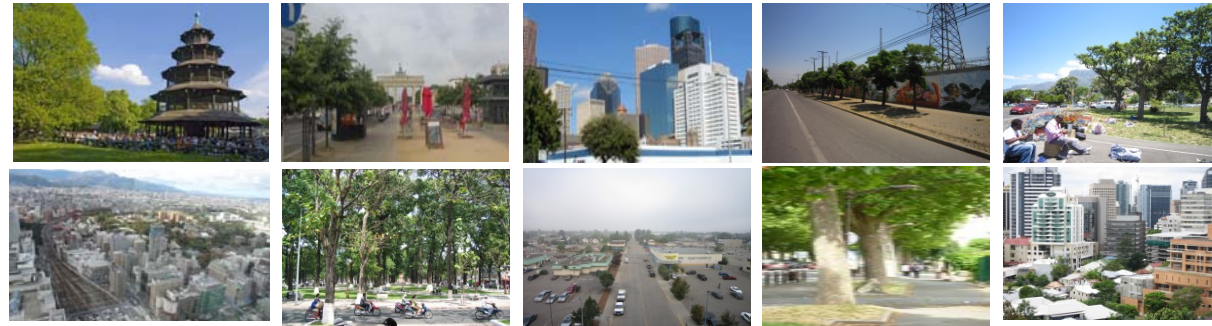
Grundflächenwachstum aus Bohrkernen als Vitalitätsweiser



Grundfläche= f
(Alter, Kalenderjahr,
Lage....)

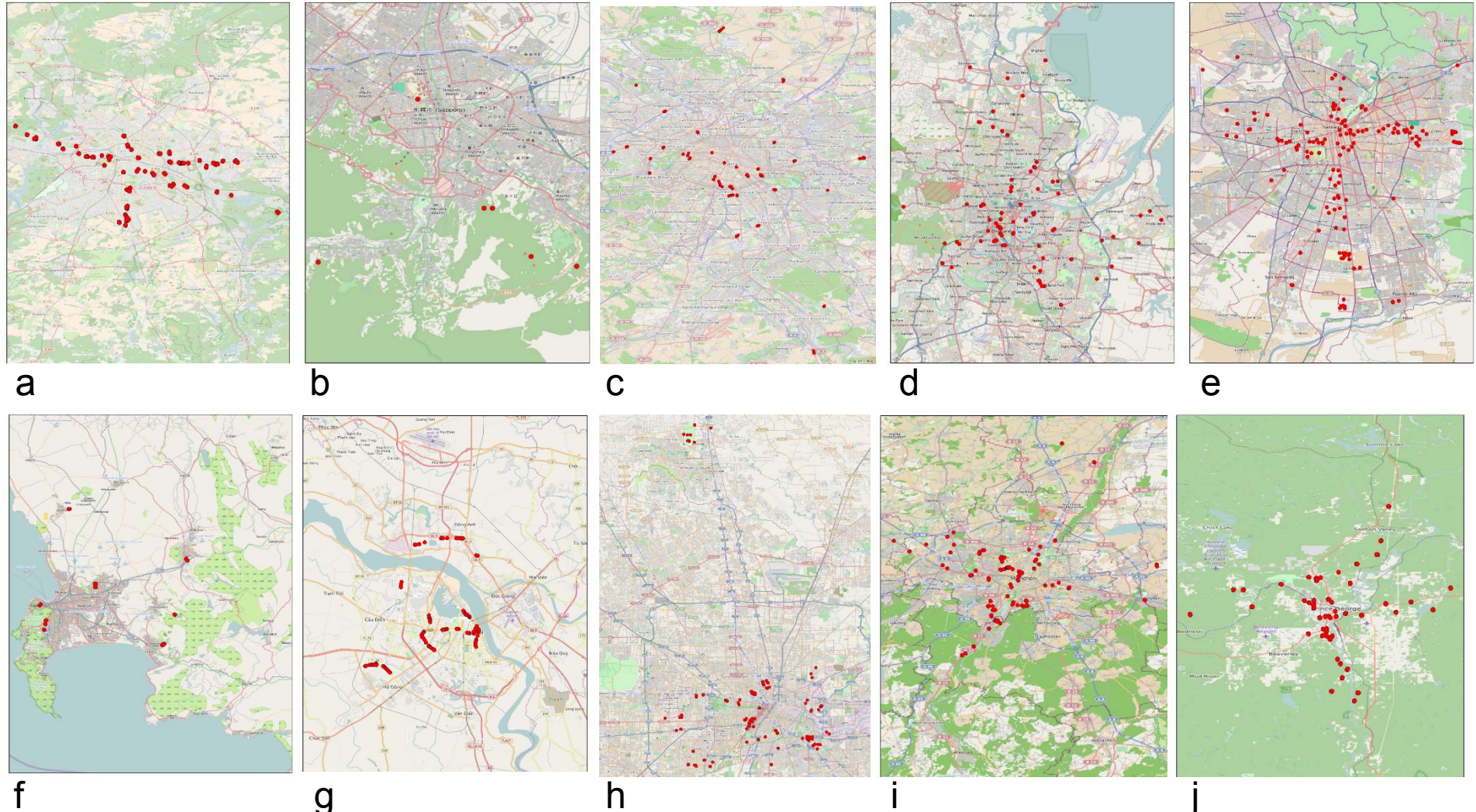


Datenbasis: 10 beprobte Städte



Pretzsch, H., Biber, P., Uhl, E., Dahlhausen, J., Schütze, G., Perkins, D., ... & Chavanne, A. (2017). Climate change accelerates growth of urban trees in metropolises worldwide. *Scientific reports*, 7(1), 15403.

Datenbasis: Stichprobenplan



Maps of the cities showing the distribution of the measured trees. Berlin (a), Sapporo (b), Paris (c), Brisbane (d), Santiago de Chile (e), Cape Town (f), Hanoi (g), Houston (h), Munich (i) and Prince George (j).

Datenbasis: Arten, n, Baumcharakteristika

City (sampling year)	Species	Number of Sampled Trees	Diameter in Breast Height [cm]	Tree Height [m]	Height to Crown Base [m]	Crown Projection Area [m ²]
Sapporo (2012)	<i>Abies sachalinensis</i> MAST.	110	33.4 (20.0 - 77.5)	17.5 (11.3 - 32.0)	6.3 (2.0 - 18.5)	28.4 (4.6 - 148.9)
Prince George (2012)	<i>Picea glauca</i> (MOENCH) VOSS	143	40.6 (27.7 - 56.5)	27.5 (17.7 - 36.8)	7.2 (1.8 - 16.6)	22.7 (4.8 - 61.2)
Berlin (2010-2013)	<i>Tilia cordata</i> MILL.	265	44.2 (16.5 - 81.1)	16.9 (8.1 - 29.1)	4.7 (1.8 - 15.1)	82.3 (19.8 - 286.4)
Munich (2013)	<i>Aesculus hippocastanum</i> L.	231	63.3 (19.6 - 117)	16.1 (7.4 - 27.2)	3.3 (0.5 - 9.7)	99.4 (25.6 - 256)
Paris (2013)	<i>Platanus x hispanica</i> MÜNCHH.	171	64.8 (40.3 - 144)	18.8 (6.8 - 34.5)	4.7 (2.5 - 10)	147.5 (23 - 648.5)
Santiago de Chile (2012)	<i>Robinia pseudoacacia</i> L.	136	41.4 (19.8 - 56.1)	15.3 (4.8 - 31.5)	2.7 (1.7 - 6.3)	14.6 (1.5 - 49.0)
Cape Town (2011)	<i>Quercus robur</i> L.	72	67.9 (40.3 - 112.9)	15.6 (9.7 - 22.8)	3.7 (2.1 - 7.3)	168.2 (56.9 - 341.7)
Hanoi (2012)	<i>Khaya senegalensis</i> (DESR.) A.JUSS.	163	73.4 (44.1 - 123.1)	22.6 (14.1 - 36.0)	5.6 (2.2 - 10.7)	136.9 (31.0 - 421.5)
Brisbane (2013)	<i>Araucaria cunninghamii</i> AITON ex. D.DON	126	40.7 (15.7 - 129.5)	17.3 (3.1 - 33.5)	3.2 (0.6 - 7.1)	45.5 (8.4 - 422.8)
Houston (2014)	<i>Quercus nigra</i> L.	183	59.9 (34.2 - 98)	16.2 (10 - 25)	3.8 (1.2 - 11.6)	162.6 (37 - 442)

Städteweise Feinanalyse

Dahlhausen, J., Biber, P., Rötzer, T., Uhl, E., & Pretzsch, H. (2016). Tree species and their space requirements in **six urban environments** worldwide. *Forests*, 7(6), 111.

Moser, A., Uhl, E., Rötzer, T., Biber, P., Dahlhausen, J., Lefer, B., & Pretzsch, H. (2017). Effects of Climate and the Urban Heat Island Effect on Urban Tree Growth in **Houston**. *Open Journal of Forestry*, 7(04), 428.

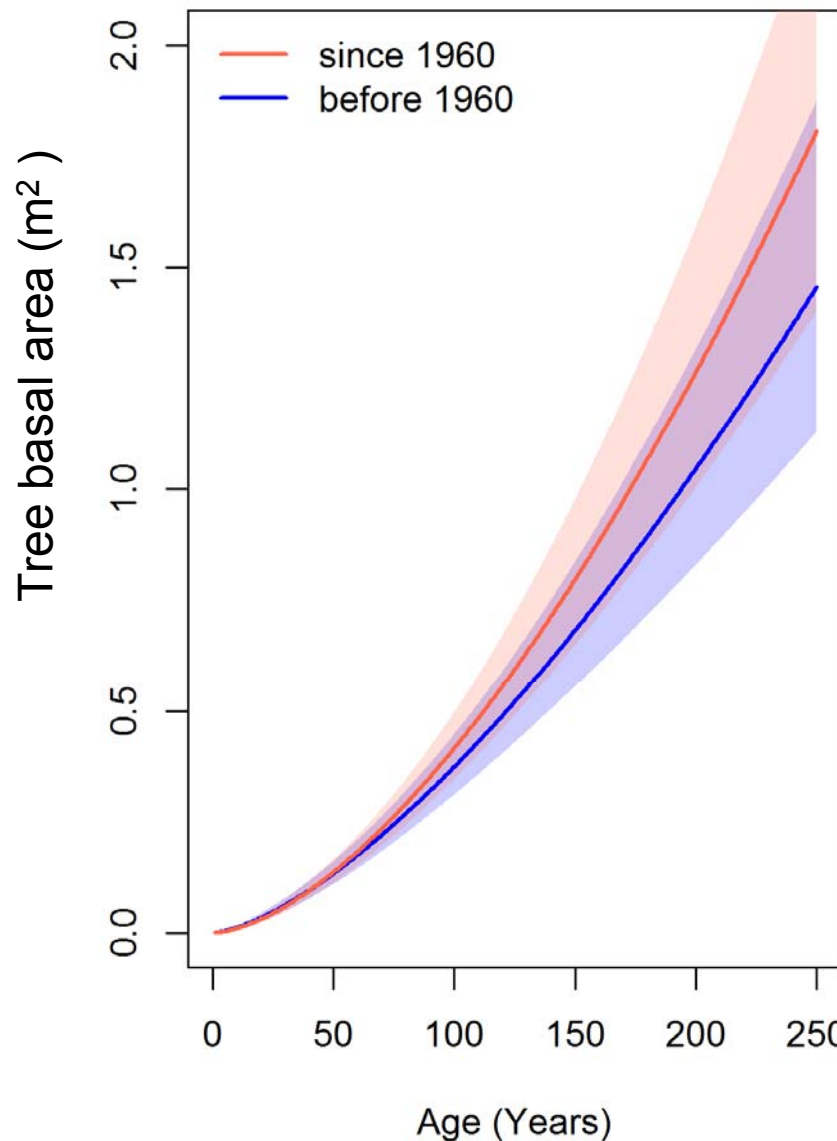
Dahlhausen, J., Rötzer, T., Biber, P., Uhl, E., & Pretzsch, H. (2018). Urban climate modifies tree growth in **Berlin**. *International journal of biometeorology*, 62(5), 795-808.

Moser, A., Uhl, E., Rötzer, T., Biber, P., Caldentey, J. M., & Pretzsch, H. (2018). Effects of climate trends and drought events on urban tree growth in **Santiago de Chile**. *Ciencia e Investigación Agraria*, 45(1), 35-50.

Moser-Reischl A, Uhl E, Rötzer Th, Biber P, van Con T, Nguyen T T, Pretzsch H (2018) Effects of the urban heat island and climate change on the growth of Khaya senegalensis in **Hanoi**, Vietnam, *Forest Ecosystems*, in press

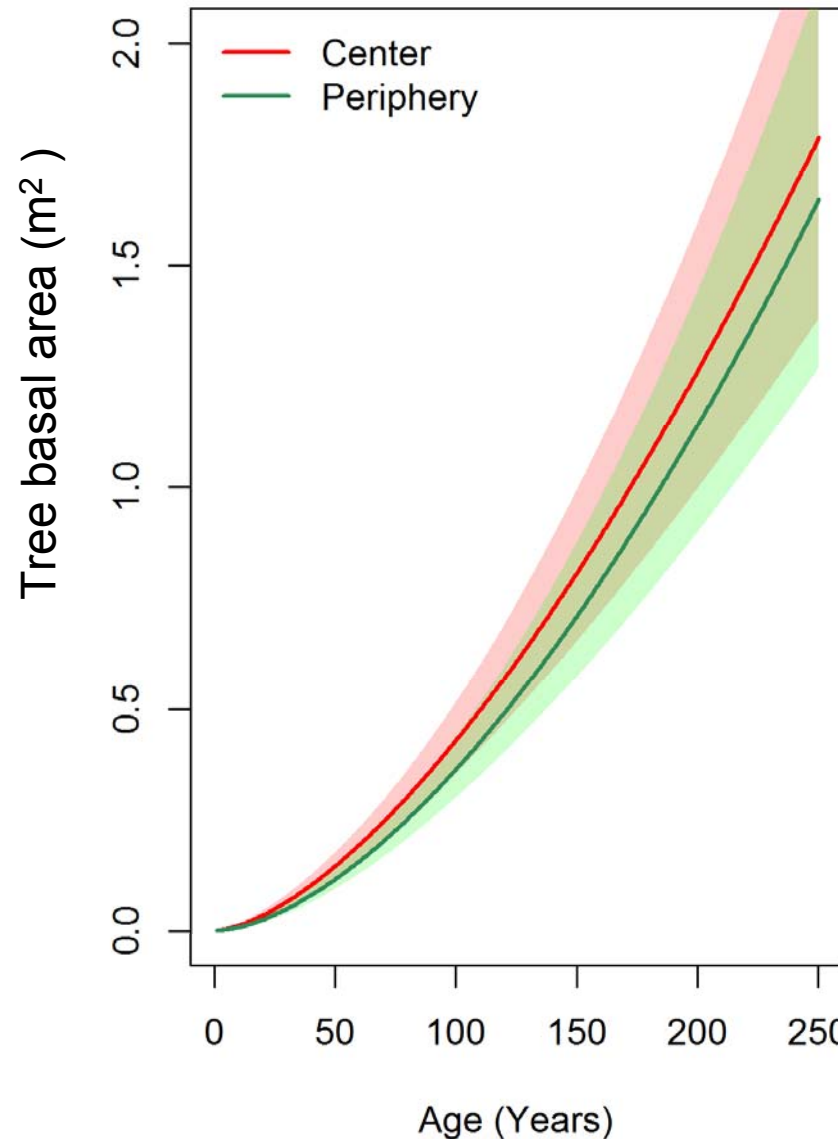
Pretzsch, H., Biber, P., Uhl, E., Dahlhausen, J., Schütze, G., Perkins, D., ... & Chavanne, A. (2017). Climate change accelerates growth of urban trees in metropolises **worldwide**. *Scientific reports*, 7(1), 15403.

Wachstum insgesamt vor 1960 im Vergleich zu nach 1960



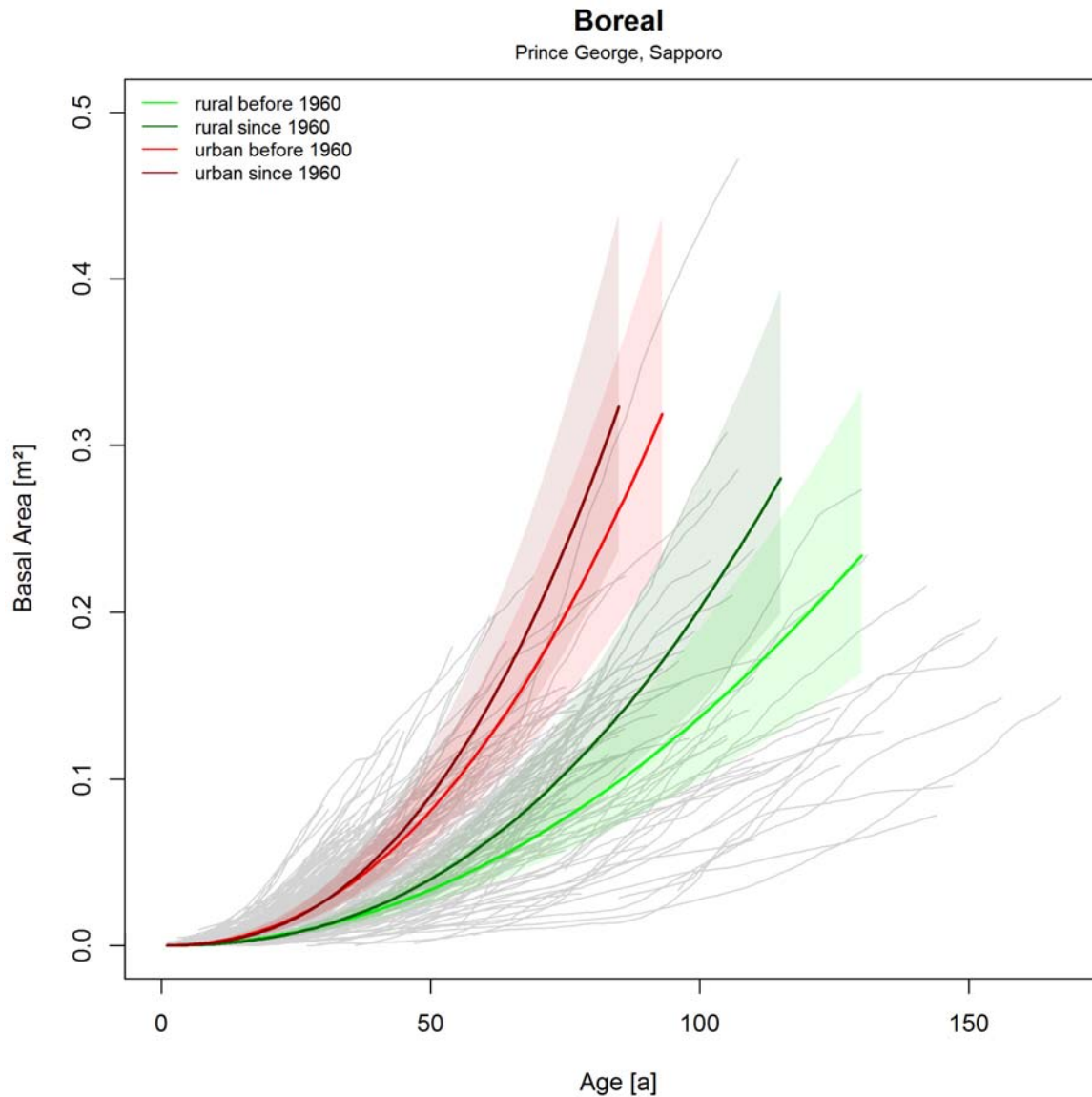
+ 11 bis + 17 %
im Alter 100
bzw. 150

Wachstum insgesamt im Stadtinneren im Vergleich zur Peripherie



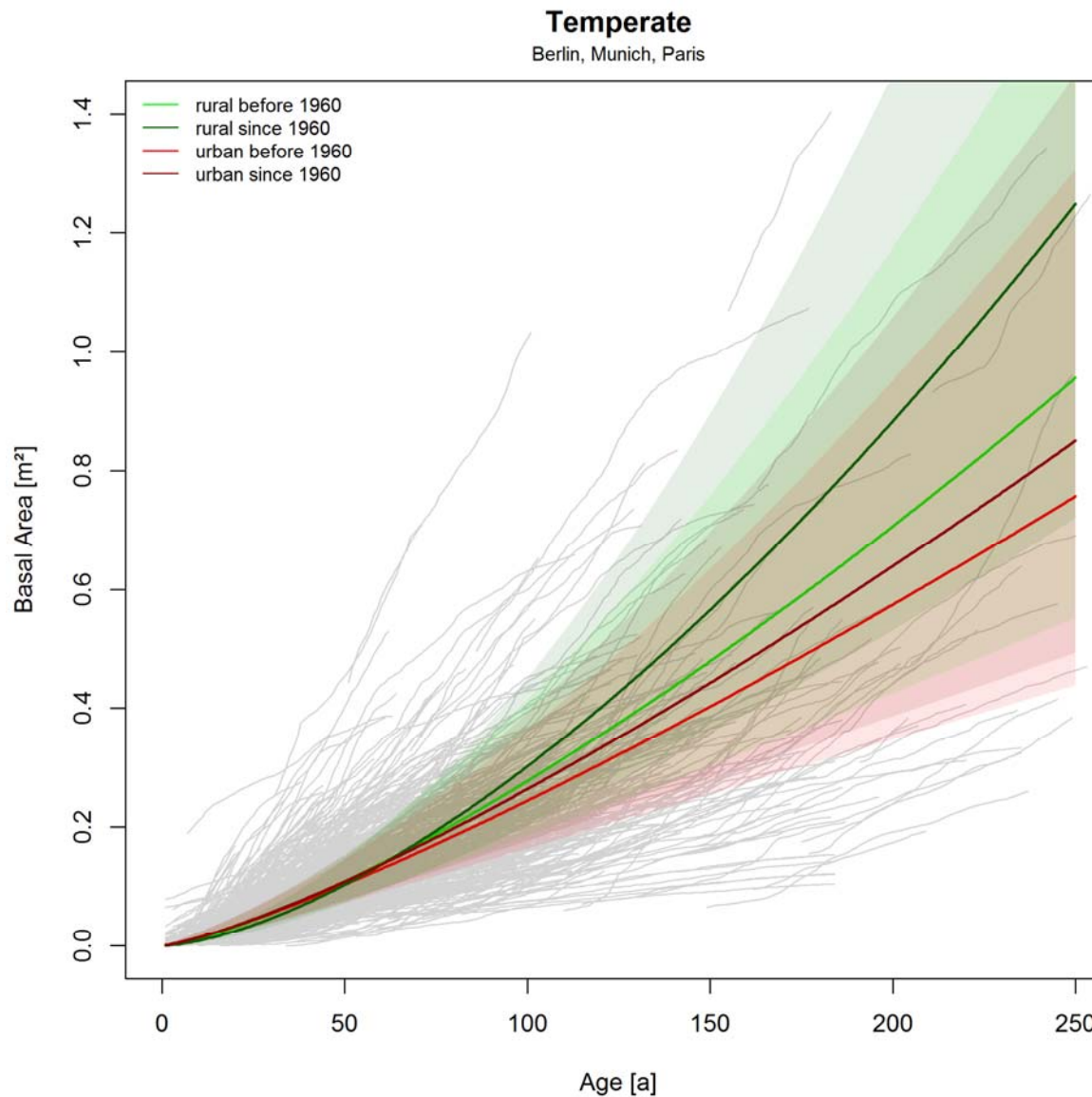
+ 14 bis + 18 %
im Alter 100
bzw 150

Reaktionsmuster in borealen Städten



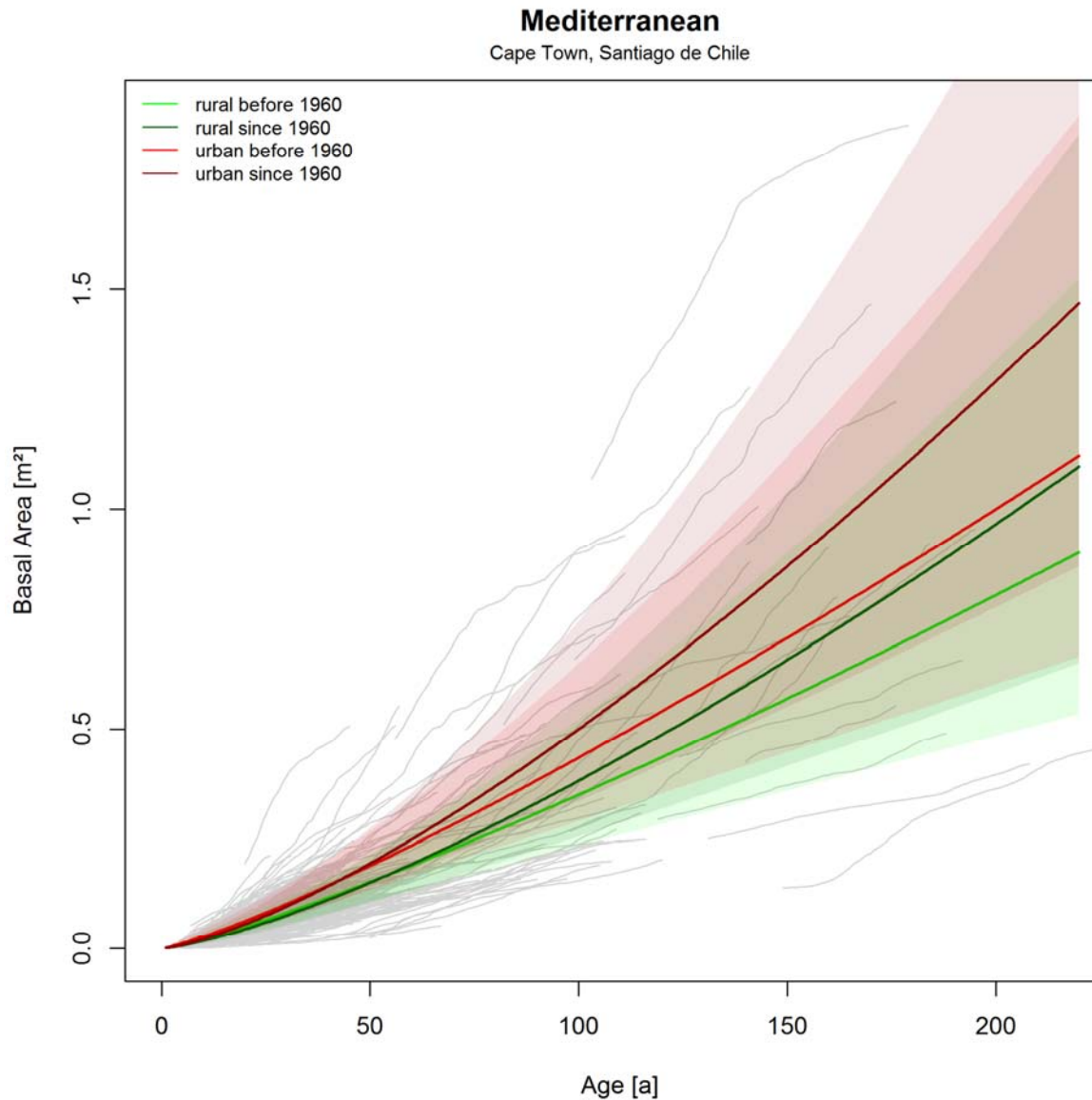
positiver Effekt
von
Kalenderjahr
und
Zentrumsnähe

Reaktionsmuster in Städten der temperierten Zone



positiver Effekt
von
Kalenderjahr
negativer
Effekt von
Zentrumsnähe

Reaktionsmuster in mediterranen Städten



positiver Effekt von Kalenderjahr kein sign. Effekt von Zentrumsnähe

subtropisch Brisbane, Hanoi, Huston positiver Effekt von Kalenderjahr und Zentrumsnähe

Diskussion der Wachstumsreaktionen

- Klimawandel und Stadtklima wirken durchschnittlich beschleunigend, zonal aber unterschiedlich
- boreal: Erwärmung und Verlängerung der Vegetationszeit beschleunigt weil ausreichende Wasserversorgung
- temperiert:: klimabedingte Beschleunigung wird durch negative Effekte in Stadtzentren (z. B. Emissionen, Dürre) überlagert
- Reaktionsmuster zeigen nicht-lineare und zonenspezifische Dosis-Wirkungs-Zusammenhänge

nächste Schritte

- Feinanalysen der Wuchsbedingungen und Reaktionsmuster in den einzelnen Städten
- Analyse der Holzdichte, Früh-, Spätholzanteil
- Analyse von Inhaltsstoffen in Jahrringen
- Beprobung von mehr Baumarten insgesamt und pro Stadt
- Beprobung von mehr Städten



Dank für die Unterstützung
an
Audi Stiftung für Umwelt
EU
DFG
Stadtverwaltungen von
Berlin, Brisbane, Hanoi, Houston, Kapstadt,
München, Paris, Prince George, Sapporo und
Santiago de Chile

Städte als offene Klimakammern. Wachstumreaktionen von Stadtbäumen auf globale und urbane Klimaveränderungen

Hans Pretzsch, Peter Biber, Enno Uhl, Jens Dahlhausen,
Gerhard Schütze, Diana Perkins, Thomas Rötzer, Juan Caldentey,
Takayoshi Koike, Tran van Con, Aurélia Chavanne,
Ben du Toit, Keith Foster, Barry Lefer

- 1 Welchen Trend zeigen Stadtbäume weltweit?
- 2 Wie wachsen sie im Stadtinneren im Vergleich zu außen
- 3 Wie wachsen sie in unterschiedlichen Klimazonen?

<http://waldwachstum.wzw.tum.de/index.php?id=presentations>